

## MoO<sub>3</sub> 박막센서 제조 및 가스감지특성

### Fabrication and Gas Sensing Characteristics of MoO<sub>3</sub> Thin Film Sensor

황종택, 장건익

(Jong-Taek Hwang, Gun-Eik Jang)

#### Abstract

MoO<sub>3</sub> thin films were deposited on electrode and heater screen-printed alumina substrates in O<sub>2</sub> atmosphere by RF reactive sputtering. The deposition was performed at 300°C with 350W of a forward power in an Ar-O<sub>2</sub> atmosphere. The working pressure was maintained at  $3 \times 10^{-2}$  mtorr and all deposited films were annealed at 500°C for 5hours. The surface morphology of films was observed by using a SEM and crystalline phases were analyzed by XRD. The sensing properties were investigated in term of gas concentration under exposure of reducing gases such as H<sub>2</sub>, NH<sub>3</sub> and CO.

**Key Words :** MoO<sub>3</sub>, gas sensor, reducing gases, sensitivity

#### 1. 서 론

최근 침단기술의 급속한 발전에 따라 각종 산업 기술 분야에서부터 차량 및 주거환경, 환경오염, 계측장비에 이르기까지 우수한 감지특성을 지닌 가스 감지소자가 절실히 필요하게 되었다. 가스 감지소자는 LPG용 가스센서의 실용화이래 중요성이 인식되었고, 감지하고자 하는 가스도 LPG, LNG, O<sub>2</sub>, CO, CO<sub>2</sub>, NO<sub>x</sub>, NH<sub>3</sub>등 다양하다. 가스센서의 제조방법은 크게, 소결하여 제조하는 벌크형(Bulk), Silk screen printing법을 이용하여 제조하는 후막형, PVD 또는 CVD법을 이용하여 제조하는 박막형으로 구별된다. 현재 가연성 가스 누출 감지에 주로 사용되는 방식은 반도체 방식으로, 특히 저농도의 가스감지에 유료하고, 가스의 선택성이 있으며, 간단한 회로경보장치를 만들 수 있고 값이 저렴하다는 등의 장점이 있다. 반도체식 가스센서는

소자를 일정온도를 가열하여 이용하는 경우가 많으므로 공기 중에서도 고온에서 안정한 산화물 반도체가 주로 이용되고 있다. 가스감지소자로서 현재 광범위하게 연구되고 있는 반도체식 금속 산화물 계는 ZnO, SnO<sub>2</sub>[1-3]로 감지특성면에서 우수하게 평가되고 있지만 비싼 귀금속 촉매를 필요로 하거나, 화학적 안정성면에서 문제가 있다. 지난 10여년 동안 장시간에 걸쳐 감도와 선택성이 우수한 새로운 가스 감지 물질에 대한 연구에 관심이 높아져 되었고 이러한 움직임 속에 MoO<sub>3</sub>에 대한 연구가 이루어지기 시작하였다[4].

MoO<sub>3</sub>는 산소결핍형의 n형 반도체로서 band gap 에너지가 3.2eV이고 상온에서 약  $10^{10}$  Ω-cm의 전기 저항값을 갖는다. MoO<sub>3</sub>는 orthorhombic 결정의 층상 구조를 갖는다[5].

본 연구에서는 RF reactive sputtering법을 이용하여 MoO<sub>3</sub> 박막을 제조, 박막의 기본 물성 및 환원성 가스인 H<sub>2</sub>, NH<sub>3</sub>, CO에 대한 가스감도를 알아보고자 하였다.

충북대학교 재료공학과  
(충북 청주시 흥덕구 개신동 산 48번지)  
Fax: 043-274-8925  
E-mail: gejang@trut.chungbuk.ac.kr

## 2. 실험

### 2.1 박막 센서 제조

본 실험에서 사용한 RF sputtering 장치개략도를 그림 1에 나타냈다.

그림 2와 같이  $\text{Al}_2\text{O}_3$  기판의 상부와 하부에 screen printing법을 이용하여 각각 전극(Pd-Ag paste)과 히터( $\text{RuO}_2$  paste)를 제조한 후, 전극은  $870^\circ\text{C}$ 에서 10분간, 히터는  $950^\circ\text{C}$ 에서 10분간 소성하였다. Mo 금속 타겟(99.9%)을 사용하여  $\text{Ar}:\text{O}_2 = 8:2$ 의 분위기에서  $\text{MoO}_3$ 를 증착한 후,  $500^\circ\text{C}$ 에서 5시간동안 열처리하였다. Base pressure는  $5 \times 10^{-5}$  mtorr, working pressure는  $3 \times 10^{-2}$  mtorr로 유지하였다. 증착시 RF 인가 power는 350W, 증착온도는  $300^\circ\text{C}$ , 기판과 타겟의 거리는 6cm였다. 열처리한 박막은 전극과 히터에  $\varnothing 75\mu\text{m}$  Pt wire를 연결하여 스테인레스로 제작된 몰드내의 sus-pin 위에 납땜하여 완성시켰다.

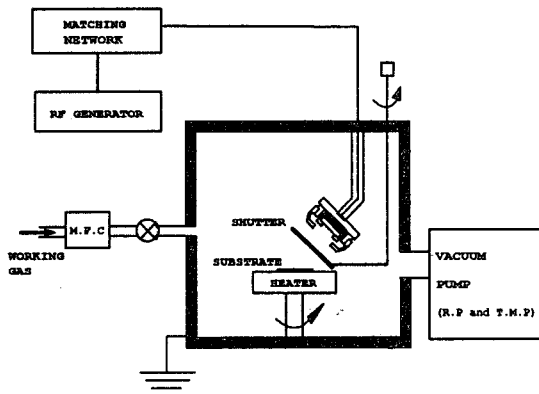


그림 1. RF 스퍼터링 장비의 개략도.

Fig. 1. Schematic diagram of the RF sputtering system.



Front side  
(Electrode)

Back side  
(Heater)

그림 2. 전극과 히터의 패턴.

Fig. 2. Patterns of electrode and heater

### 2.2 가스감지특성 측정

가스 감도를 측정하기 위해 10 l 용량의 test box를 제작하여 가스가 외부와 차단되도록 완전히 밀폐하였다. 감지대상 가스인  $\text{H}_2$ ,  $\text{NH}_3$ ,  $\text{CO}$ 를 주사기를 이용하여 1000~4000ppm까지 정량적으로 주입하였다. 내부에 가스가 균일하게 분포되도록 소형 fan을 부착하였으며, 히터 양단에 DC 전압을 인가하여 센서의 작동온도를 조절한 후에 전극에 Multimeter를 연결하여 노출가스 양에 따른 저항값을 측정하였다. 그림 3은 가스 감도 측정 장치를 보여주고 있다.

본 연구에서는 센서 감지물질의 가스농도에 따른 저항의 변화량으로 나타내었다. 즉, 센서저항은 가스 유무에 따라  $R_{air}$ 와  $R_{gas}$ 로 표현되고, 감도(Sensitivity)는

$$S(\%) = \frac{(R_{air} - R_{gas})}{R_{air}} \times 100 \text{ 로 계산하였다.}$$

증착된 박막은 표면의 미세구조 관찰을 위하여 SEM을 사용하였으며, 결정상 분석을 위해서 XRD를 이용하였다.

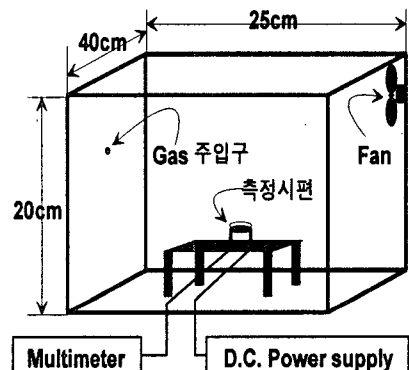


그림 3. 가스 감도 측정 장치의 모식도.

Fig. 3. Schematic diagram of the apparatus for measurement of gas sensing properties.

## 3. 결과 및 고찰

### 3.1 $\text{MoO}_3$ 박막의 기본 물성분석

그림 4와 5는 RF reactive sputtering법으로 제조한  $\text{MoO}_3$  박막의 XRD와 SEM data를 보여주고 있다.

Orthorhombic 구조를 갖는  $\text{MoO}_3$ 는 (020), (040), (060)과 같은 (010)면의 배향성 피크가 크게 나타나지 않았으나, 2차상이 전혀 나타나지 않았고 특

정적인  $\text{MoO}_3$ 상의 피크가 크게 나타난 것으로 볼 때 안정한  $\text{MoO}_3$  결정이 성장되었다고 사려된다.

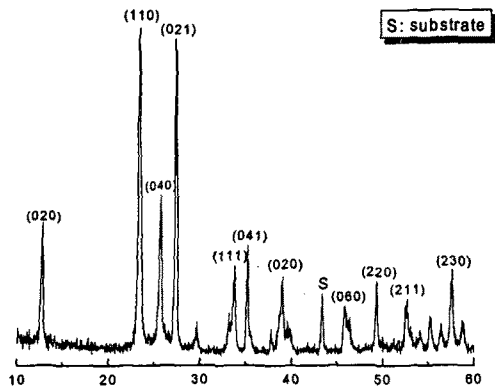


그림 4.  $\text{MoO}_3$  박막의 XRD data

Fig. 4. XRD pattern of  $\text{MoO}_3$  thin film

$\text{MoO}_3$ 의 미세구조를 보면, 판상형태의 입자들이 layer를 형성하고 있는 것을 알 수 있다. 크기가 대략 96~103nm인 미세한 판상 입자들로 인해 센서로서 적합한 다공성 구조로 이루어져 있고 비표면적 또한 큰 값을 갖는다. 막두께는 약 1.8 $\mu\text{m}$ 정도이다.

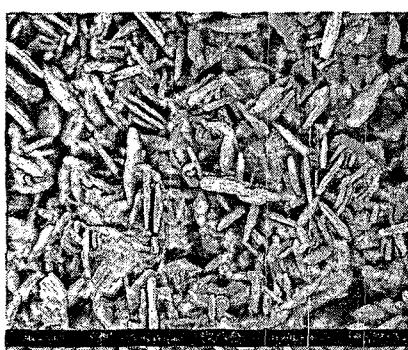


그림 5.  $\text{MoO}_3$  박막 표면의 SEM 사진

Fig. 5. SEM micrograph of  $\text{MoO}_3$  thin film surface.

### 3.2 가스감지특성

그림 6은 기판의 온도에 따른  $\text{MoO}_3$  박막의 저항값의 변화를 나타내고 있다.

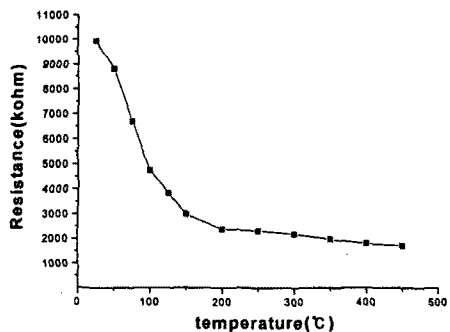


그림 6. 센서의 온도에 따른  $\text{MoO}_3$  박막의 저항특성

Fig. 6. Resistance characteristics of  $\text{MoO}_3$  thin film depending temperature of sensor

센서의 온도가 상승하면서 저항값이 급격히 감소하다가 200°C부근에서 일정한 저항값을 유지하는 것을 알 수 있었다. 온도가 상승하면서 저항값이 감소하는 것을 통해  $\text{MoO}_3$ 가 NTC(Negative temperature coefficient)임을 확인할 수 있었다.

센서의 온도에 따른  $\text{MoO}_3$ 의 환원성 가스에 대한 감도를 알아보기 위해 200, 300, 400°C에서  $\text{H}_2$ ,  $\text{NH}_3$ ,  $\text{CO}$ 가스의 1000~4000ppm에 대한 가스 감도를 측정해 보았다.

그림 7은 센서 온도 200°C에서 측정한 감지 그래프이다.  $\text{H}_2$ 와  $\text{NH}_3$ 는 비슷한 경향을 보이며 4000ppm에서 35%의 낮은 감도를 보였다. 하지만  $\text{CO}$ 에 대해서는 농도에 상관없이 거의 이렇다할 변화를 보이지 않았다.

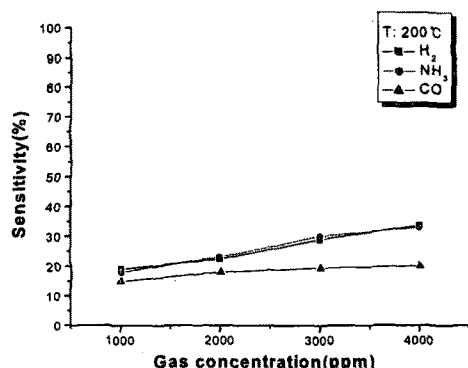


그림 7. 200°C에서  $\text{MoO}_3$  박막센서의 가스 감도

Fig. 7. The gas sensitivity of  $\text{MoO}_3$  thin film sensor at 200°C

그림 8은 300°C에서 측정한 가스감도 그래프이다. NH<sub>3</sub>는 농도에 비례하여 선형적인 증가를 보이고 있고 H<sub>2</sub>의 경우, 3000ppm 이상의 농도에서 42% 이상의 감도를 보였다.

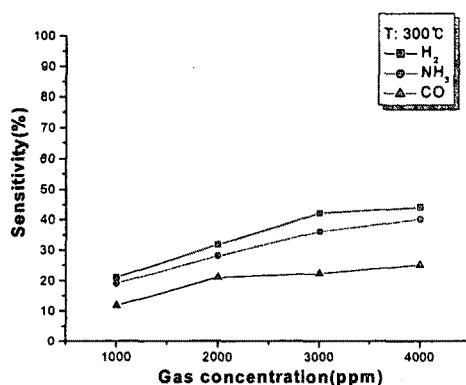


그림 8. 300°C에서 MoO<sub>3</sub> 박막센서의 가스 감도  
Fig. 8. The gas sensitivity of MoO<sub>3</sub> thin film sensor at 300°C

그림 9는 400°C에서의 가스 감지를 나타낸 그래프이다. H<sub>2</sub>의 경우 2000ppm 이상에서는 농도에 따른 감도의 증가량이 작아지고 4000ppm에서 55%의 감도를 보여주고 있다. NH<sub>3</sub>는 농도가 증가함에 따라 감도값이 비교적 크게 증가하여 1000ppm에서는 24%, 4000ppm에서는 51%의 감도를 나타냈다.

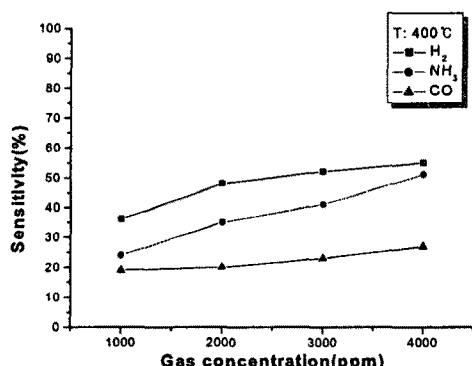


그림 9. 400°C에서 MoO<sub>3</sub> 박막센서의 가스 감도  
Fig. 9. The gas sensitivity of MoO<sub>3</sub> thin film sensor at 400°C

#### 4. 결 론

본 연구에서는 RF reactive sputtering법을 이용하여 MoO<sub>3</sub> 박막을 제조, 박막의 기본 물성 및 환원성 가스인 H<sub>2</sub>, NH<sub>3</sub>, CO에 대한 가스감도를 알아보자 하였다. 주된 연구 결과는 다음과 같다.

1. XRD 분석 결과, 2차상은 나타나지 않았고 (110)과 (021) MoO<sub>3</sub> 상의 피크가 크게 나타난 것으로 미루어 비교적 안정한 MoO<sub>3</sub> 결정이 성장하였다고 생각된다.
2. MoO<sub>3</sub>는 96~103μm의 크기를 갖는 판상형 입자들로 이루어져 있어 비표면적이 큰 다공성 재료로서 가스센서의 용용에 적합하다고 사려된다.
3. MoO<sub>3</sub>는 온도가 증가하면 저항값이 감소하는 NTC(Negative temperature coefficient)임을 확인할 수 있었다.
4. MoO<sub>3</sub>센서는 300°C 이상의 작동온도에서 4000ppm H<sub>2</sub>에 대해 44% 이상의 감도를 보였다.

#### 감사의 글

본 연구는 2001년도 과학기술부에서 시행한 국제공동 연구사업(과제번호: M10105000039-01HD200-12412)의 일환으로 수행되었으며 이에 감사드립니다.

#### 참고 문헌

- [1] G. Sbervegli, S. Groppelli and P. Nelli, "Highly sensitive and selective NO<sub>x</sub> and NO<sub>2</sub> sensor based on Cd-doped SnO<sub>2</sub> thin films", Sensors and Actuators, B 4, p.457, 1991.
- [2] G. Behr and W. Fliegel, "Electrical properties and improvement of the gas sensitivity in multiple-doped SnO<sub>2</sub>", Sensors and Actuators, B 26-27, p.33, 1995.
- [3] Y. Nakamura et al., "Selective Co Gas Sensing Mechanism with CuO/ZnO heterocontact", J. Electrochem. Soc, Vol. 137, No. 3, P.190, 1990.
- [4] G. Sberveglieri, "Recent development in semiconducting thin-film gas sensors", Sens. Actuators, B 23, p.103-109, 1995.
- [5] J.W. Rabalais and R.J. Colton, "Trapped electrons in substoichiometric MoO<sub>3</sub> Observed by X-ray electron spectroscopy", Chem. Physics. Lett. 29, p.131-133, 1974.